

# 基于新普适性关系和天文观测精确约束中子星性质

---



武则晗

华南理工大学物理与光电学院博士生

导师：文德华 教授

2024. 11. 17

深圳粤港澳会议

# 目录

---

**1.背景简介**

**2.研究方法**

**3.结果讨论**

**4.总结**

## 1974 年诺贝尔物理学奖



Martin Ryle



Antony Hewish

Dame Jocelyn  
Bell Burnell

**中子星**是大质量主序星在演化末期形成的致密天体，是20世纪60年代天文学的四大发现之一。中子星拥有地面实验难以实现的天然极端环境，因此借助NICER、LIGO、Virgo等大科学装置的天文观测，成为研究高密核物质性质的重要手段。

REPORTS

CORRECTED 9 MAY 2014

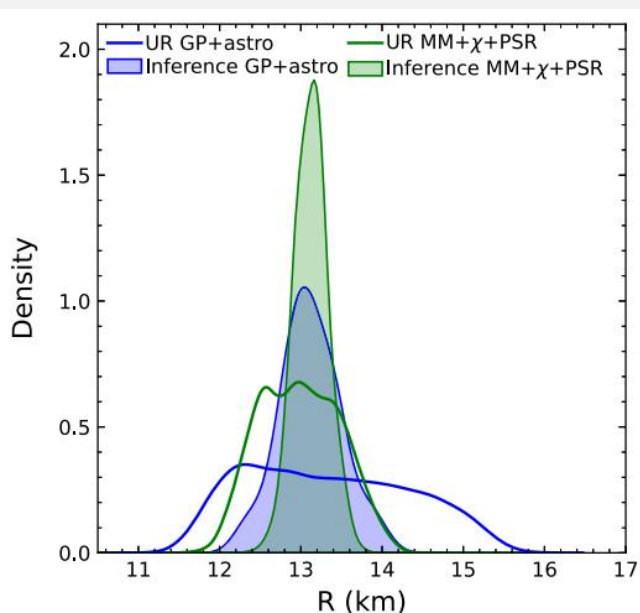
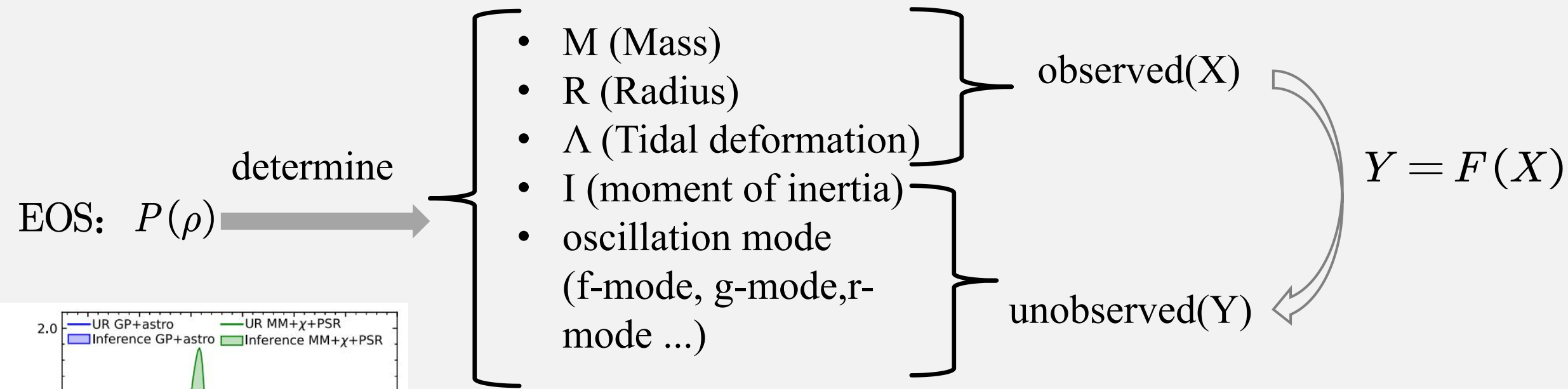
**I-Love-Q: Unexpected Universal Relations for Neutron Stars and Quark Stars**

Kent Yagi\* and Nicolás Yunes

ries (6). Similarly, GWs from NS binary inspirals cannot be easily used to test general relativity (GR) because of EoS degeneracies (7, 8). We here find a way to uniquely break these degeneracies through universal I-Love-Q relations between the reduced moment of inertia,  $\bar{I}$ ; tidal Love number,  $\bar{\lambda}^{(\text{tid})}$ ; and quadrupole moment,  $\bar{Q}$ , that are essentially insensitive to the star's EoS (9).

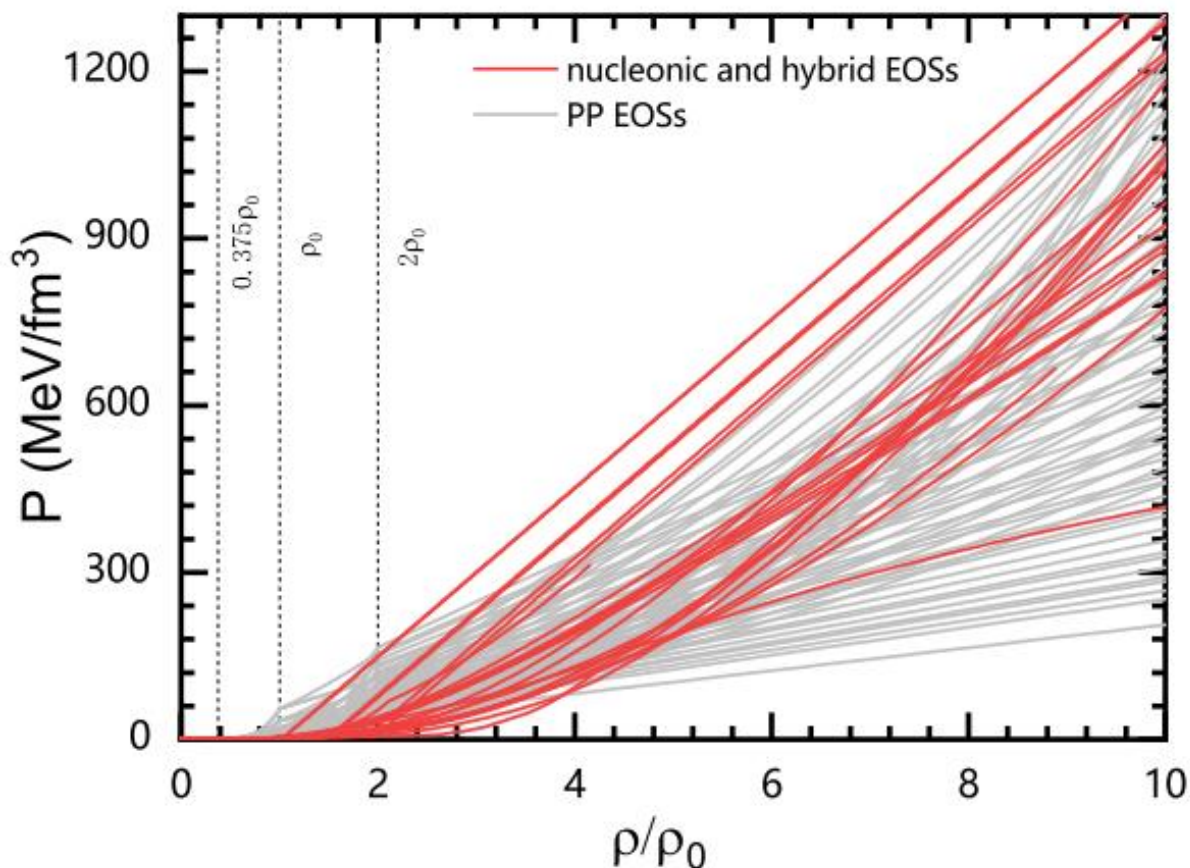
Consider an isolated, slowly rotating NS or QS described by its mass,  $M_*$ ; the magnitude of its spin angular momentum,  $J$ , and angular ve-

## EOS-independent普适性关系



- 如何提高普适性关系的精度?
- 能否解释普适性关系建立的原因?

## EOS模型



## 1.分段多方物态

(PP EOS)

$$P = K_i \rho^{\Gamma_i} \quad (\rho_i \leq \rho \leq \rho_{i+1})$$

$$K_i = \frac{P_i}{\rho_i^{\Gamma_i}}$$

$$\Gamma_i = \frac{\log_{10}(P_{i+1}/P_i)}{\log_{10}(\rho_{i+1}/\rho_i)}$$

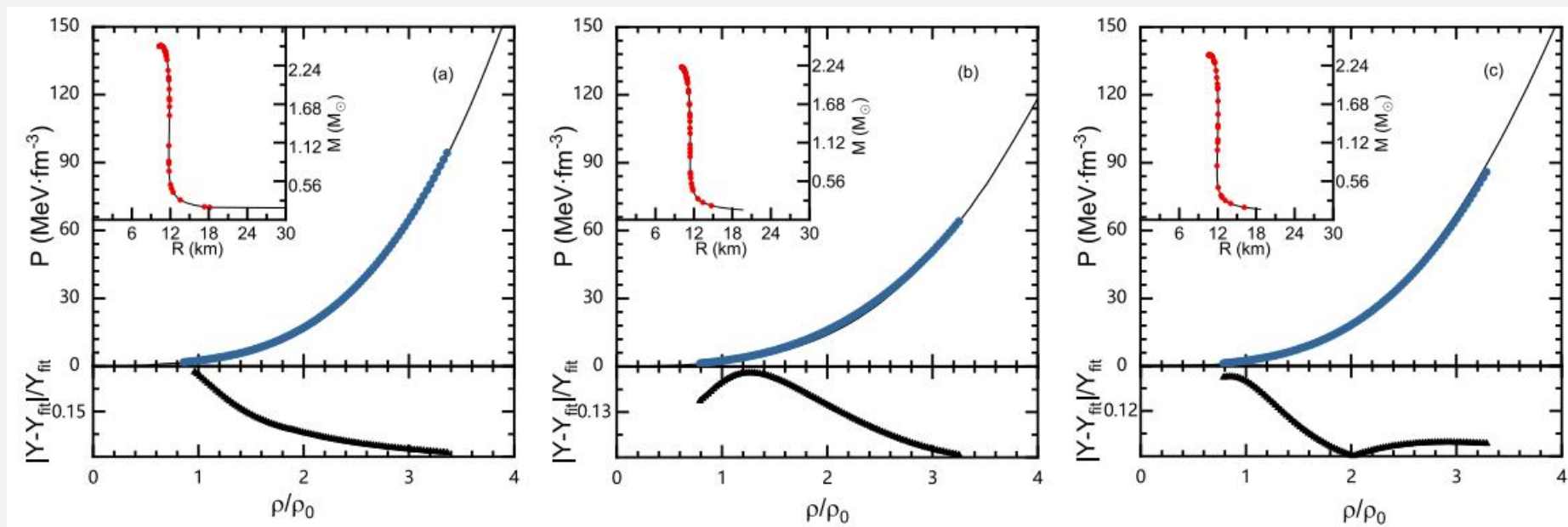
## 2.中子星及混合星物态

(nucleonic and hybrid EOS)

APR, APR3, APR4, ALF2, ENG, DDLZ1, DD-ME1, DD-ME2, MPA1, PKA1, PKO3, SLy, WFF1, WFF2, soft-EOS, stiff-EOS, APR3 + quark EOS, and DD-ME2 + quark EOS.

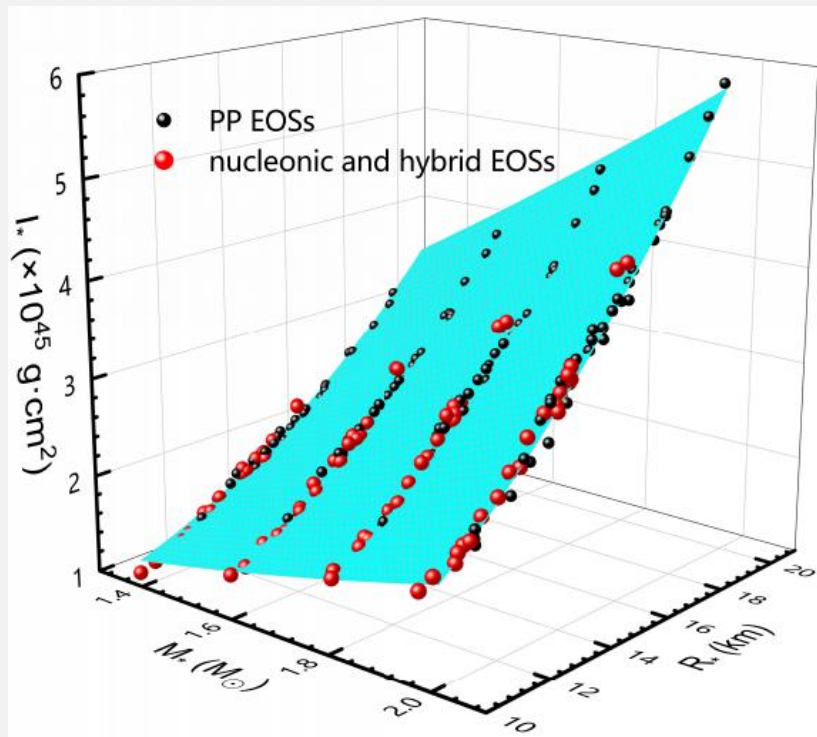
EOS-(in)dependent is equal to MR-(in)dependent

TOV方程: 
$$\frac{dP}{dr} = -\frac{G\rho m(r)}{r^2} \left(1 + \frac{P}{\rho c^2}\right) \left(1 + \frac{4\pi P r^3}{m(r)c^2}\right) \left(1 - \frac{2Gm(r)}{rc^2}\right)^{-1}$$





## 转动惯量 $I_*$ — $(M_*, R_*)$

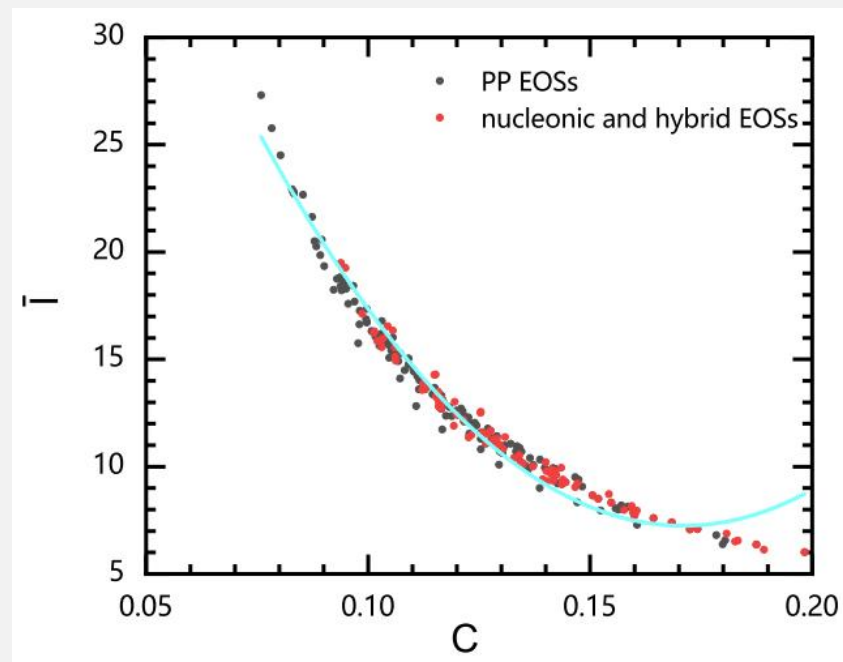


$$I_* = 4.417 - 2.696M_* - 0.513R_* + 0.427M_*^2 + 0.014R_*^2 + 0.249M_*R_*$$

$$\text{其中 } I_* = \frac{I}{10^{45} \text{ g} \cdot \text{cm}^2}, M_* = \frac{M}{M_\odot}, R_* = \frac{R}{\text{km}}$$

$$\bar{I} - C$$

[Breu & Rezzolla, MNRAS. (2016)]



$$\bar{I} = 65.857 - 685.567C + 2004.727C^2$$

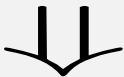
$$\text{其中 } \bar{I} = I/M^3, C = M/R$$

误差比较:

	$I_* - (M_*, R_*)$	$\bar{I} - C$
Mean $(\frac{1}{n} \sum_{i=1}^n X_i)$	0.019	0.774

$$\bar{I} - C$$

$$\bar{I} = 65.857 - 685.567C + 2004.727C^2$$



$$\bar{I} = \frac{I(G/c^2)}{(M(G/c^2))} = 65.857 - 685.567 \frac{M}{R} + 2004.727 \left(\frac{M}{R}\right)^2$$

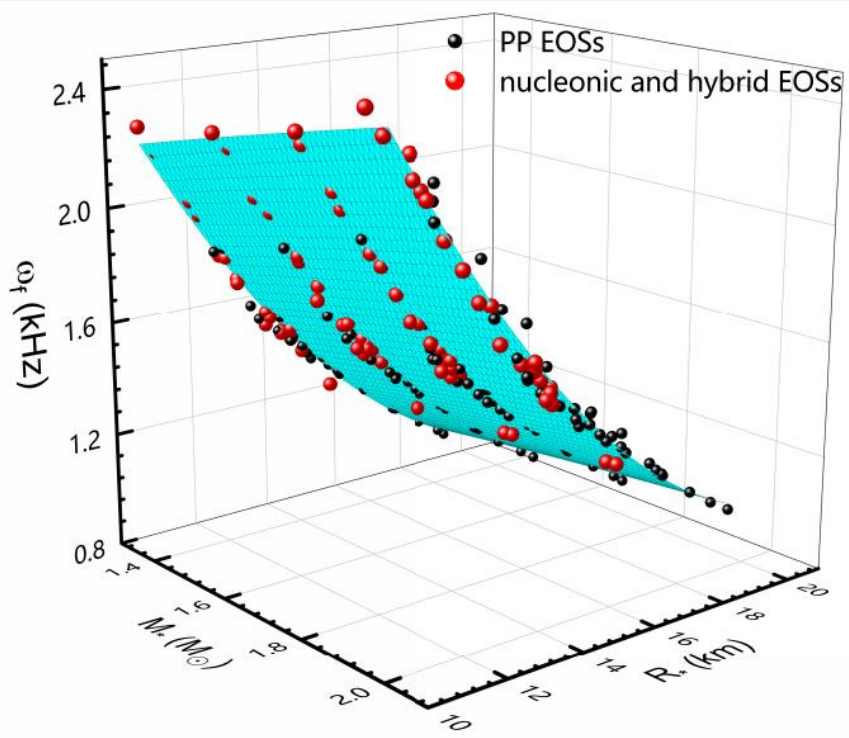
$$I = [65.857 - 685.567MR^{-1} + 2004.727M^2R^{-2}] \frac{M^3}{23}$$

$$I = 2.863M^3 - 29.807M^4R^{-1} + 87.162M^5R^{-2}$$

C=M/R的形式导致难以存在R单独项



*f* – mode频率  $\omega_f - (M_*, R_*)$



$$\omega_f(\text{kHz}) = 4.66 + 0.838M_* - 0.416R_* - 0.0471M_*^2 + 0.0106R_*^2 - 0.0267M_*R_*$$

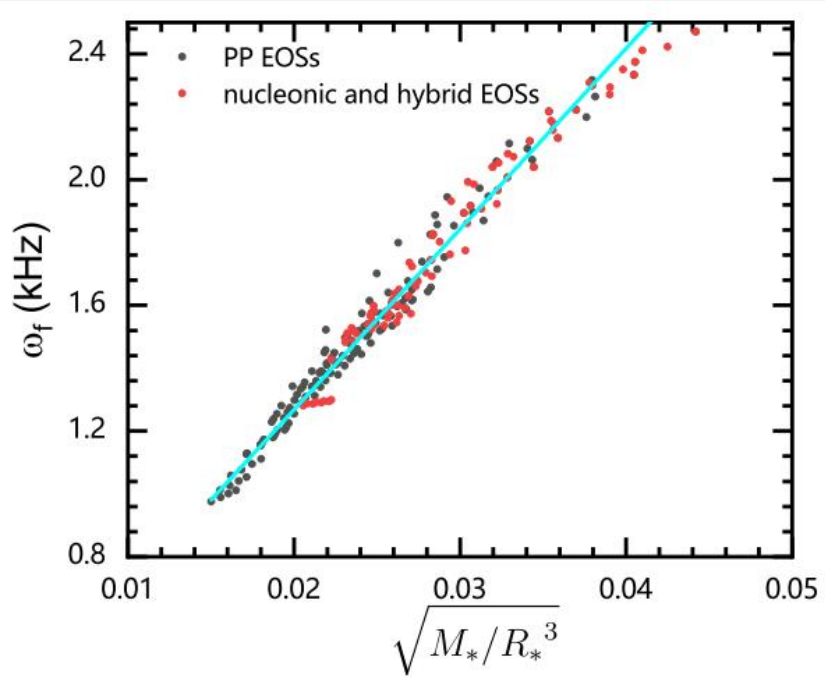
其中  $M_* = \frac{M}{M_\odot}, R_* = \frac{R}{\text{km}}$

误差比较:

	$\omega_f - (M_*, R_*)$	$\omega_f - \sqrt{M_*/R_*^3}$
Mean $(\frac{1}{n} \sum_{i=1}^n X_i)$	0.0698	0.106

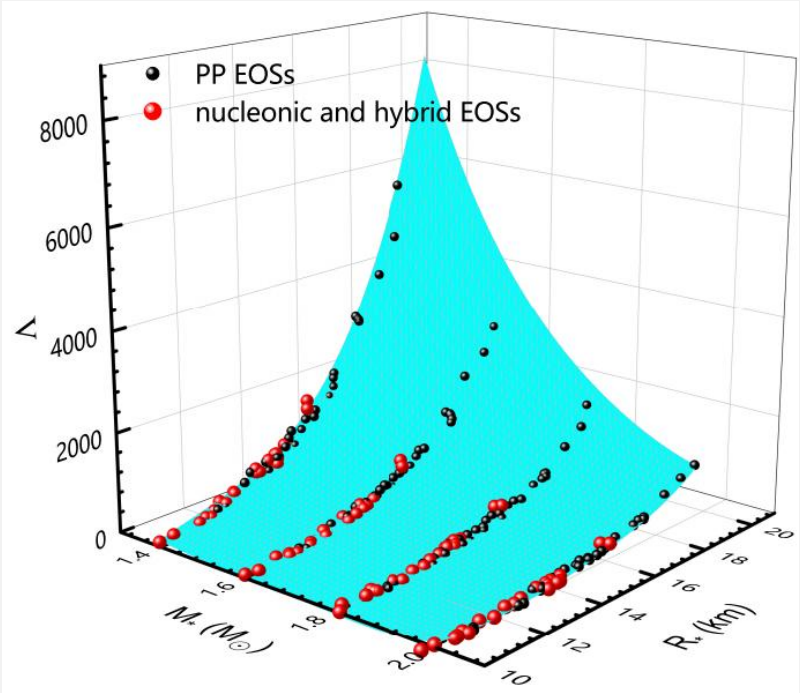
$$\omega_f - \sqrt{M_*/R_*^3}$$

[Andersson & Kokkotas, MNRAS (1998)]



$$\omega_f(\text{kHz}) = 0.118 + 57.478\sqrt{M_*/R_*^3}$$

潮汐形变  $\Lambda - (M_*, R_*)$

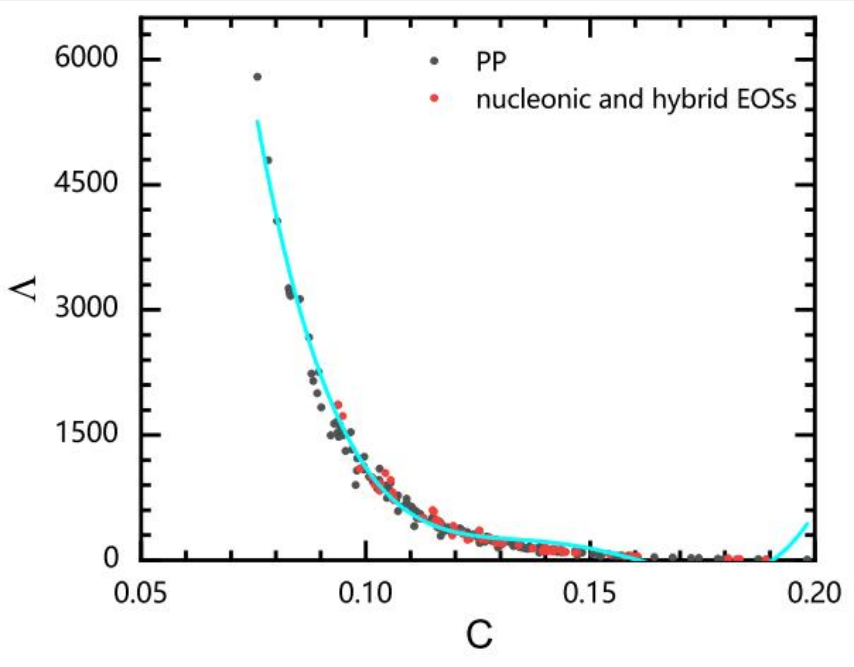


$$\Lambda = 108757.7751 - 299645.88054M_* + 4654.63671R_* - 5931.14445M_*R_* + 289044.79877M_*^2 - 80.98134R_*^2 - 127741.20618M_*^3 + 18.16444R_*^3 + 5789.65511M_*^2R_* - 342.04328M_*R_*^2 + 23162.31504M_*^4 + 0.35154R_*^4 + 295.79953M_*^2R_*^2 - 2493.99688M_*^3R_* - 18.85851M_*R_*^3$$

其中  $M_* = \frac{M}{M_\odot}, R_* = \frac{R}{\text{km}}$

$\Lambda - C$

[Maselli et.al., PRD (2013).]



$$\Lambda = 1.009 \times 10^5 - 2.786 \times 10^6 C + 2.878 \times 10^7 C^2 - 1.312 \times 10^8 C^3 + 2.223 \times 10^8 C^4$$

误差比较:

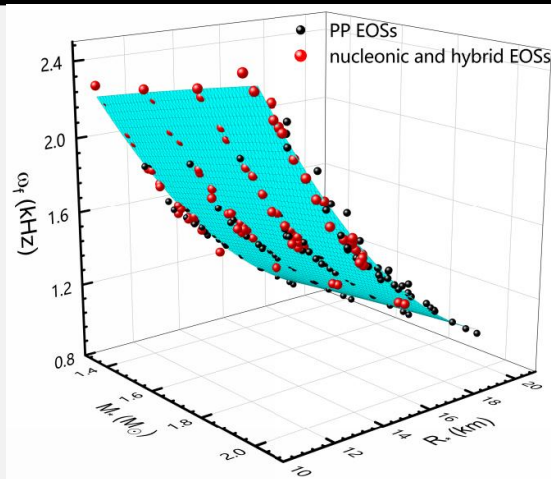
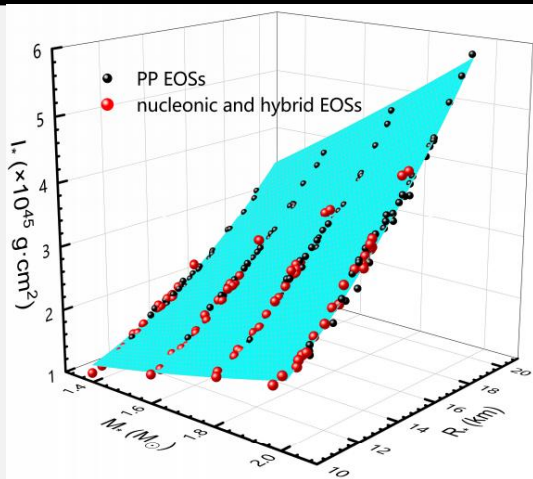
	$\Lambda - (M_*, R_*)$	$\Lambda - C$
Mean $(\frac{1}{n} \sum_{i=1}^n X_i)$	0.0798	0.213

# 1.背景简介

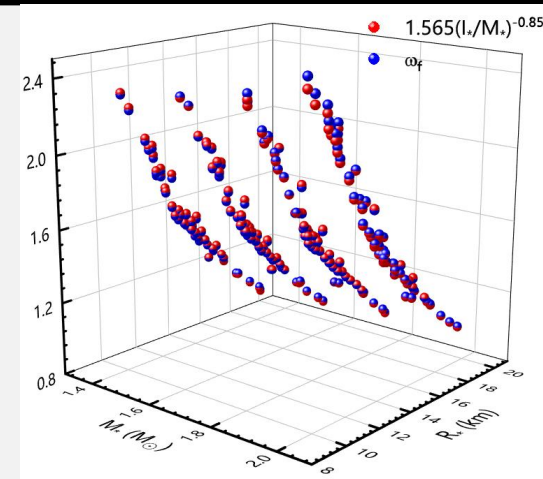
# 2.研究方法

# 3.结果讨论

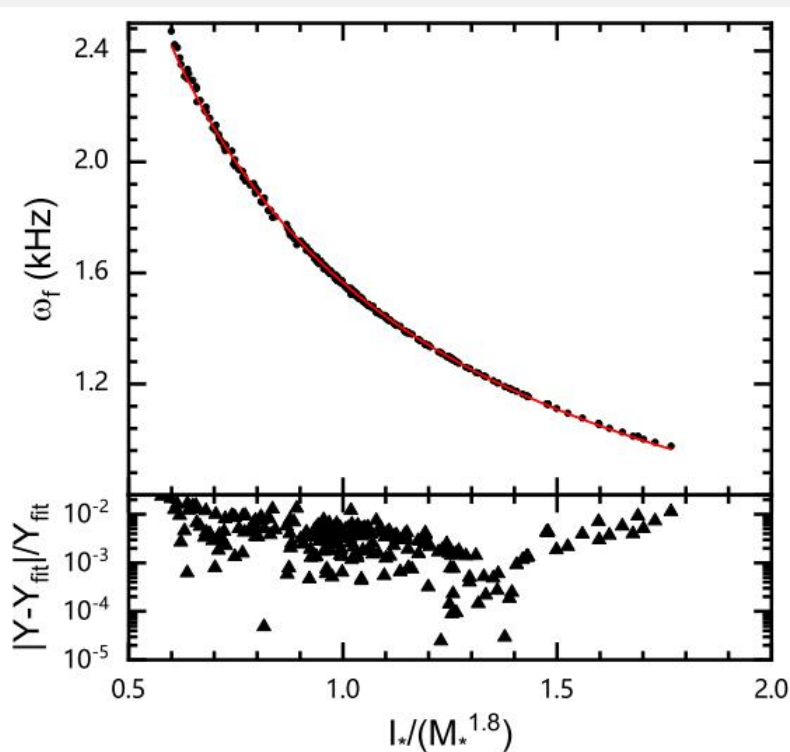
# 4.总结



3D affine transformation



基于MR投影建  
立新普适性关系



$$\omega_f \text{ (kHz)} = 1.565 (I_*/M_*^{1.8})^{-0.851}$$

最大相对误差: 2%

平均相对误差: 0.37%

建立普适性关系就是建立函数式  $Y = F(X)$ ，当我们把  $X(M_*, R_*)$  和  $Y(M_*, R_*)$  视作二变量的多项式，就可以利用多元多项式除法进行求解。

$$Y(M_*, R_*) = d(M_*, R_*)X(M_*, R_*) + r(M_*, R_*)$$

其中  $d(M_*, R_*)$  为商， $r(M_*, R_*)$  为余数。

## 多元多项式除法

对于  $I_*$  和  $\omega_f$  有  $\omega_f(\text{kHz}) = d(M_*, R_*)I_* + r(M_*, R_*)$

其中

$$d(M_*, R_*) = -\frac{471}{4270}$$

$$r(M_*, R_*) = \frac{327}{247000}M_*R_* + \frac{577111}{1067500}M_* + \frac{463}{38125}R_* - \frac{2017943}{4270000}R_* + \frac{3139801}{610000}$$

在静态中子星条件下，分别建立了转动惯量，f-mode频率，潮汐形变与质量半径的普适性关系。我们发现：

- 质量半径投影建立的普适性关系具有更高的精度
- 以  $\omega_f - I_*$  为例，展示了高精度普适性关系建立的过程，提供了新的视角解释普适性关系的建立原因
- 理论上可以推广至其他条件。例如转动条件下，将自旋频率对质量半径的改变视作额外添加的投影维度(即 $M_*, R_*, \Omega_*$ )，或视作MR轴的坐标变换。

结合NICER天文观测结果的预测

	质量半径	预测		
		转动惯量 ( $\times 10^{45} \text{ g}\cdot\text{cm}^2$ )	f-mode频率 (kHz)	无量纲潮汐形变
PSR J0030+0451	$1.44\pm0.15 \text{ M}_{\odot}$ 11.2-13.3 km [ Miller et al. APJL 2021]	0.980 - 3.408	1.296 - 2.111	284.713 - 2833.076
PSR J0740+6620	$2.08\pm0.07 \text{ M}_{\odot}$ 12.2-16.3 km [Riley et al. APJL 2021]	1.859 - 7.364	0.966 - 2.479	<1885.358



End